A-0807 気候変動に対する寒地農業環境の脆弱性評価と積雪・土壌凍結制御による適応策の開発 (2)異なる積雪・土壌凍結条件下の土壌中の硝酸態窒素を含む陰イオン移動の定量的評価

北海道大学 農学研究院 環境資源学部門 長谷川周一

〈研究協力者〉

日本学術振興会特別研究員(農研機構 北海道農業研究センター寒地温暖化研究チーム) 柳井洋介

平成20~22年度 合計予算額: 6,751千円 (うち、平成22年度予算額: 2,495千円) 予算額は、間接経費を含む。

[要旨] 多雪地帯である北海道・石狩地方の札幌市と土壌凍結地帯である北海道・十勝地方の芽室町の北海道農業研究センター試験圃場においてA-0807(1)と共通の試験区を設け、土壌および土壌水の採取が困難な土壌凍結期および融雪期を含む農地の硝酸イオン(NO₃)の動態を明らかにした。試験圃場に施肥相当量の窒素を硝酸カリウムで散布し、TDR(Time domain reflectometry)法により土壌水分と土壌の電気伝導度(ECa)の通年測定を行った。また、室内試験によりECaと土壌溶液の電気伝導度を実測(ECw)することによりECaをECwに変換するモデルを構築した。一方、圃場で採取した土壌水のECw値とNO₃濃度の関係をもとに、圃場で測定されたECa値から土壌水のNO₃を予測した。その結果、札幌および芽室の両サイトとも2年間にわたり土壌水のNO₃の挙動を追跡することが可能であった。芽室サイトの下層土ではNO₃の移動距離は水の移動距離の半分以下であることが室内実験より明らかになったが、圃場では確認することができなかった。また、北海道農業研究センター芽室研究拠点内の試験圃場ならびに十勝地方の更別町農家圃場に試験区を設置し、除雪や圧雪により土壌凍結深を発達させた試験区で土壌凍結前と消雪後のNO₃の鉛直分布を調査し自然積雪状態で凍結深が浅い試験区と比較した。その結果、土壌の凍結深が深くなるにつれ、冬期に作土に残存しているNO₃が融雪後にも多く保持される傾向にあることが実証された。

[キーワード] 土壌凍結、硝酸態窒素、陰イオン吸着、電気伝導度、モニタリング

1. はじめに

北海道十勝地方では、1980年代後半以降の20年間で土壌凍結の顕著な減少が続いている。十勝地方の畑では、秋の収穫時に窒素肥料が必ずしも作物に全て取り込まれず土壌中に残ることがあり、また越冬性のコムギを播種する初秋期に施肥するため、窒素肥料がNO3の形態で冬期間にも畑に存在する場合がある。従来のように土壌凍結が深い場合は、融雪水の浸透が凍結層により阻害されるため、表面流去が生じ土壌中のNO3は流出しない場合が多かったと考えられる。一方、現在のように年最大凍結深が0.20 m未満となると、凍結層が融雪水の浸透を抑制せず、表層土壌のNO3は融雪水とともに深層に浸透すると考えられる。このような、冬期・融雪期の水収支項の大きな変化により、過去よりも現在のほうが畑のNO3が地下水に流入しやすくなったと考えられる。しかし土壌凍結と農地の物質循環の関係やそれが周辺環境に与える影響は不明である。そこで、土壌

凍結深の減少が環境や農業生産活動に与える影響を評価し、その対策を提案することが求められる。

2. 研究目的

土壌中に残存した NO_3 の冬期、融雪期の移動形態と移動量を土壌凍結深の相違と関連づけて明らかにする。この目的のため、本課題では3つの側面から研究をおこなった。日本の代表的な畑地土壌である黒ボク土の NO_3 の移動は水移動に比べて遅延することが知られている。そこで第一に、実際に生じる NO_3 濃度の範囲で遅延を定量化することである。第二に、TDR(Time domain reflectometry)により土壌水の電気伝導度を求め、 NO_3 の動態を連続的に追跡する手法を確立することである。サブテーマ(1)では、土壌凍結深が深いほど融雪水の浸透が抑制される傾向にあることが明らかになった。 NO_3 は水とともに移動するため、土壌凍結深の増加に伴い冬期(融雪期)の NO_3 の下層への移動量も抑制される可能性がある。そこで第三に、除雪・圧雪といった積雪処理を行なうことで人為的に土壌凍結深を発達させた試験区を設け、圃場で土壌凍結が発達する前と消

雪後の春先の土壌中のNO。の鉛直分布を調査し、自然積雪状態で土壌凍結深の浅い対照区と比較す

ることで、土壌凍結深の違いが冬期のNO3の移動に及ぼす影響を評価する。

3. 研究方法

(1) 黒ボク土の陰イオン吸着によるNO₃移動遅延

1) 供試土壌

芽室、札幌の両サイトとも黒ボク土に分類されるが、腐植が多いA層では陰イオン吸着が起こらないため、対象は下層土とした。試験区を設けた札幌サイトでは下層土は海成段丘により生成された野幌層呼ばれ、非火山性土であったため、陰イオン吸着による遅延の影響は考慮する必要は無いと考えられる。一方、もう一つの試験区である芽室サイトでは下層土が黒ボク土であり、土

表1 遅延係数を求めるために用いた黒ボク土

地点	母材	$ ho_{d}$	θ	分配係数	遅延係数
羊ヶ丘	恵庭岳火山灰a	1.00	0.69	0.39	1.60
芽室	樽前山火山灰d	0.73	0.56	0.76	2.17
八雲	駒ケ岳古期火山灰	0.87	0.66	0.29	1.28
	駒ケ岳火山灰d	0.73	0.61	0.38	1.49
静内	支笏火山灰1	0.85	0.60	0.52	1.72
厚床	摩周火山灰f	0.55	0.52	0.65	2.08
つくば	立川ローム	0.55	0.55	0.58	1.96
岩手	岩手山	0.90	0.52	1.01	2.57
鹿児島	鬼界カルデラ	0.70	0.50	1.57	3.15

ρ_b:乾燥密度(Mg m⁻³), θ: 流出試験中の体積含水率 (m³ m⁻³)

延を表すのに必要なパラメータである遅延係数の測定を行った。用いた土壌は芽室、札幌羊ヶ丘

(ラウレナイ川南の森林)、北里大学八雲牧場(渡島支庁八雲町)、北海道大学静内研究牧場(日高支庁新ひだか町)、道東の民間牧場(根室支庁厚床)、岩手大学下台圃場(盛岡市上田)、農業環境技術研究所(つくば市観音台)、鹿児島県農業開発総合センター大隅支場(鹿屋市串良町)のアカホヤ層である。9地点とも下層土である。表1に、9地点の土壌の起源とNO₃流出実験条件等を示す。なお八雲牧場では、駒ケ岳古期火山灰と駒ケ岳d火山灰由来の2種類の黒ボク土を採取し、以降、「八雲古」、「八雲d」と分けた。

2) NO₃吸着等温線

水溶性の塩類を除去するため、前処理として内径4 cm、長さ20 cmのカラムに0.84 mmの篩を通過した風乾土を現場乾燥密度で充填し、飽和後に脱塩水を8ポアボリューム(*PV*)流した。その後、土壌を風乾し、再び0.84 mmメッシュの篩を通して、実験に供した。

添加溶液と平衡溶液の濃度差から各イオンの吸着量及び脱着量を求めた。イオンiの吸着量及び脱着量は次式で計算した。

$$Q_{i} = \frac{C_{i}^{\text{add}}V^{\text{add}} - C_{i}^{\text{eq}}(V^{\text{add}} + M_{s}\omega)}{M}$$

ここで、Qはイオンiの吸着量(脱着量) $(mmol_c kg^{-1})$ 、 C^{add} は添加溶液のイオン濃度 $(mmol_c L^{-1})$ 、 V^{add} は添加溶液量 (L)、 C^{eq} は平衡溶液のイオン濃度 $(mmol_c L^{-1})$ 、 M_s は乾土重 (kg)、 ω は含水比 $(kg kg^{-1})$ を表わす。Qの値は正ならば吸着、負ならば脱着を意味する。

最も単純な吸着モデルは、土壌溶液中 の溶質の濃度と吸着量が直線関係を示 す場合、次式で表される。

$$C_a = K_d C_l \tag{2}$$

ここで、 K_a は分配係数 $(L kg^{-1})$ 、 C_a は溶質の吸着量 $(mol kg^{-1})$ 、 C_I は土壌溶液中の溶質濃度 $(mol L^{-1})$ である。

3) NO₃流出

流出実験装置を図1に示す。内径4 cm、 厚さ1 cmのアクリルリングを20個重ねた 長さ20 cmの解体式のカラムに、風乾土

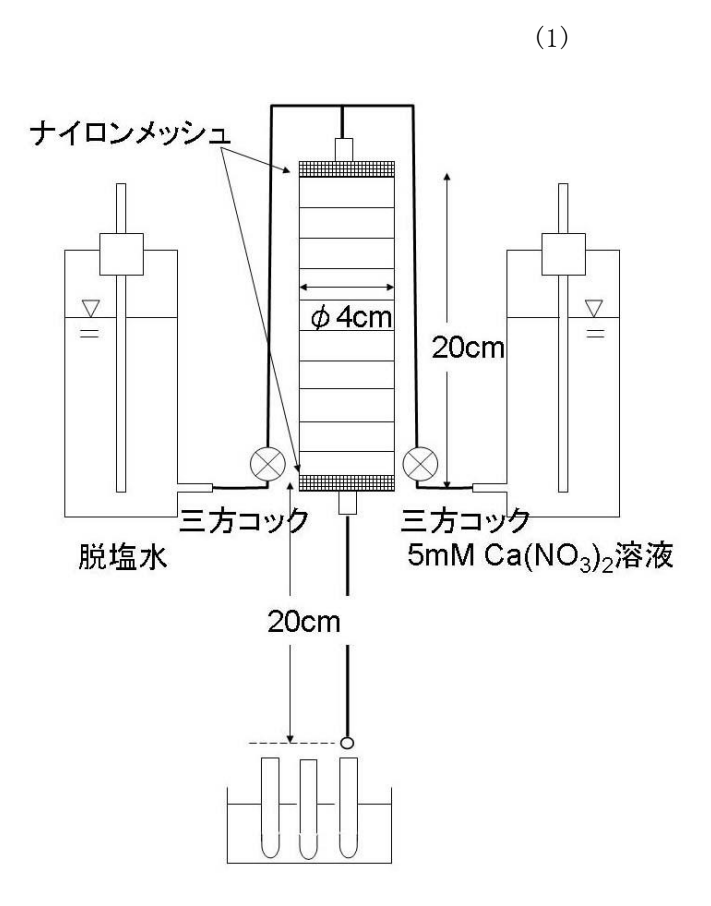


図1 NO₃流出試験装置

(4)

を表1に示す乾燥密度で充填し、上端と下端にナイロンメッシュを敷いた後、カラム下端から脱塩水を約2日間かけて供給し、試料を毛管飽和させた。マリオット管と流出口は20 cmのサクションをカラムに与えるように設置し、定水位で脱塩水を8PV流した後に、5 mmo1。 L^{-1} Ca $(NO_3)_2$ 溶液に切り替えて8PV通水し、流出溶液

表2	KNO。散布量と散布日	
----	-------------	--

札幌			芽室		
年月日	散布量	降水量	年月日	散布量	降水量
十万 口	(kg N ha ⁻¹)	(mm)	十月日	(kg N ha ⁻¹)	(mm)
2008/10/30	70		2008/10/16	70	
		850			778
2009/7/21	75		2009/8/13	100	
		263			230
2009/11/4	100		2009/10/29	100	
		623			560
2010/6/9	100		2010/6/28	100	
		650			555
2010/10/31			2010/10/31		

を約0.1PV毎に採取した。試験終了後、直ちにカラムを $2 \, \mathrm{cm}$ ごとに解体し、含水比を測定した。 NO_3 移動の遅延の程度は、遅延係数R(非吸着性溶質の移動速度に対する注目する溶質の移動速度の比)で評価した。

土壌中の溶質移動の予測には、一般的に移流分散方程式が用いられる。吸着を考慮した1次元定常水移動の移流分散方程式は次式で表される。

$$R\frac{\partial C_l}{\partial t} = D\frac{\partial^2 C_l}{\partial x^2} - u\frac{\partial C_l}{\partial x} \tag{3}$$

ここで、Rは遅延係数、tは時間(s)、Dは拡散分散係数(m^2 s $^{-1}$)、xは位置(m)、uは平均間隙流速(m s $^{-1}$)、 C_t は土壌溶液中の溶質濃度(mol L $^{-1}$)である。遅延係数Rは分配係数 K_a と次式の関係がある $^{1/2}$ 。

$$R = 1 + \left(\frac{\rho_b}{\theta}\right) K_d$$

ここで、 K_d は分配係数 (L kg^{-1})、 ρ_b は乾燥密度 ($Mg m^{-3}$)、 θ は体積含水率 ($m^3 m^{-3}$) である。溶質が吸着される場合にはR>1となる。

遅延係数は、NO₃⁻流出濃度 曲線の実測データと式(3)の 移流分散方程式の解析解を 用いて、Excelのソルバーツ ールによる非線形最小二乗 法によって、最も実測値と適 合する値を採用した。

(2)土壌の電気伝導度のモニタリングから土壌溶液中のNO₃濃度を推定する手法の確立

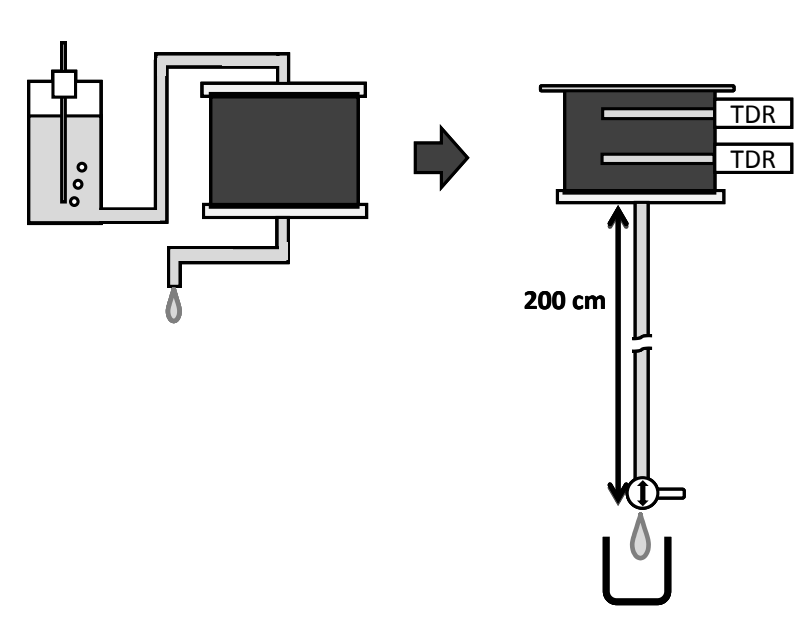


図2 ECaとECwの関係を得るための試験装置

1) 土壌の誘電率、電気伝導度と土壌溶液の陰イオン濃度の測定

土壌の誘電率と電気伝導度を計測するTDR (Campbel1製CS605)を札幌と芽室に設定した溶質移動区の異なる深さ(札幌は深さ0.10, 0.20, 0.40, 0.60 m; 芽室は深さ0.10~0.80 m まで0.10 m 間隔)に埋設し、2008年10月から2010年10月まで連続計測した。また、 $N0_3$ の移動を明らかにするため、表2に示すように粉末状態の $KN0_3$ を2008年10月以降4回散布した。さらに、 TDRに隣接して、TDR埋設深と同一の深度に埋設した素焼カップを用い、土壌溶液を適宜採取して主要陰イオンをイオンアナライザー(TOA 1A-100) により、土壌溶液の電気伝導度を電気伝導度計(Horiba, B-173)により測定した。

2) 土壌の電気伝導度 (ECa) と土壌溶液の電気伝導度 (ECw)

ECaとECwとの関係は室内試験に基づいてモデル化を行った。2 mmメッシュの篩を通過した札幌および芽室の各層位の土壌を現場乾燥密度で直径11.4 cm、高さ10 cmのカラムに充填し、図2左に示すように上下のフィルターメンブレンを通し、流出液の電気伝導度(ECメータで測定)が流入液の電気伝導度に等しくなるまで既知の KNO_3 溶液を流した。その後、図2右のように、上部のフィルターメンブレンを外して溶液の流入を止め、カラム側壁にTDR(TDR640)を高さ2.5と7.5 cmに挿入した。次いで、下部のフィルターメンブレンの排水口をカラムから200 cm下方に設定し、排水量が5 mL毎に土壌の誘電率と電気伝導度を測定した。このようにしてほぼ飽和水分状態からマトリックポテンシャルが-200 cmの水分状態までの誘電率と電気伝導度の値をTDRにより得た。 KNO_3 溶液の電気伝導度の値は $0.1, 0.3, 0.5, 0.7, 0.9 dS m<math>^{-1}$ の5段階とした。実験は全て25℃の恒温状態で行った。

3) 電気伝導度と温度との関係

電気伝導度は温度の影響を受ける。特に、畑の深さが浅い部分では温度変化が大きい。そこで、TDR640をビーカーに入れ、水温を0.4℃から20℃まで変化させて電気伝導度を測定し、電気伝導度と温度の関係を関数化した。こうして、圃場における電気伝導度の値は全て20℃に変換した。

(3) 土壌凍結深の違いがNO3の溶脱に与える影響の評価

北海道農業研究センター芽室研究拠点内の試験圃場において、2009年9月から2010年8月に慣行の施肥体系に準じてコムギを栽培した。この圃場において、冬期に圧雪して土壌凍結を発達させる試験区と、自然積雪状態で土壌凍結深が浅い対照区を設置し、両試験区において、土壌凍結前と消雪後に土壌(0-0.4 m)をオーガーで採取し、NO3の鉛直分布を調査した。また、同研究拠点の1 ha程度の圃場を2つに分割し、片方を圧雪して土壌凍結深を発達させ、片方を自然積雪状態で管理した。秋に畑に残留する窒素を模擬するために、硫酸アンモニウム50 kg ha⁻¹ を散布し、土壌凍結前と消雪後に土壌(最大で0-1.0 m、後述)を採取し、両試験区の秋と春先のNO3の鉛直分布を比較した。

十勝地方更別村において夏作としてバレイショを栽培し、後作にコムギを栽培している畑およびマメ栽培を予定している畑を2008-2009年、2009-2010年とも2箇所選定し、凍結前と融雪後のNO₃の深さ別濃度分布から除雪処理がNO₃溶脱に及ぼす影響を調べた。マメ栽培を予定している畑は除雪処理を行って凍結深が深く、隣接するコムギ畑は除雪を行っていないため凍結深が浅い。コム

ギ畑ではバレイショ収穫後に施肥を行っており、マメ栽培予定の畑では施肥を行っていないため、除雪処理が硝酸溶脱に及ぼす影響は凍結前と融雪後のNo。濃度分布の相違から判定した。

北海道農業研究センターの試験圃場・農家圃場ともに、土壌試料は直径4.6 cm長さ100 cmの鋼鉄製の円筒をパーカッションハンマーで打ち込み、円筒内の土壌を10 cm毎に採取した。北海道農業研究センターの試験圃場から採取した土壌は、採取した翌日にKC1により抽出し、フローインジェクションメーター(BL-TEC QuAAtro2-HR)によりNO3濃度を測定した。同分析機器は同時にアンモニア態窒素も測定可能である。アンモニア態窒素はほとんど含まれていなかったことから、硝酸化成がほぼ完全に進行していたことが確認された。農家圃場から採取した土壌については、土壌は採取翌日には低温状態で札幌まで輸送し、水抽出した後に孔径0.45 μ mのメンブレンフィルターでろ過し、溶液を分析までは氷点下で保存した。解凍後に純水を加えて希釈し、イオンアナライザー(TOA 1A-100)によりNO3濃度を定量した。

4. 結果·考察

(1) 黒ボク土の陰イオン吸着による移動の遅延

1) NO₃吸着等温線

実験に供した6試料の $Ca(NO_3)_2$ 溶液添加による各イオンの吸着量及び脱着量の変化を図3に示す $(Na^+, K^+, C1^-$ は、脱着量が $1 \text{ mmol}_c kg^{-1}$ 未満と低かったため省略した)。全ての試料において、平衡溶液の NO_3 濃度と NO_3 吸着量の関係は、原点を通る直線で表すことができた。そこで、式(2)に従って原点を通る一次式で NO_3 吸着データを回帰し(図3)、その傾きを分配係数とした。全ての試料の分配係数を表1にまとめた。芽室の分配係数は0.76 L kg^{-1} であり、これは冬期下層土の平均体積

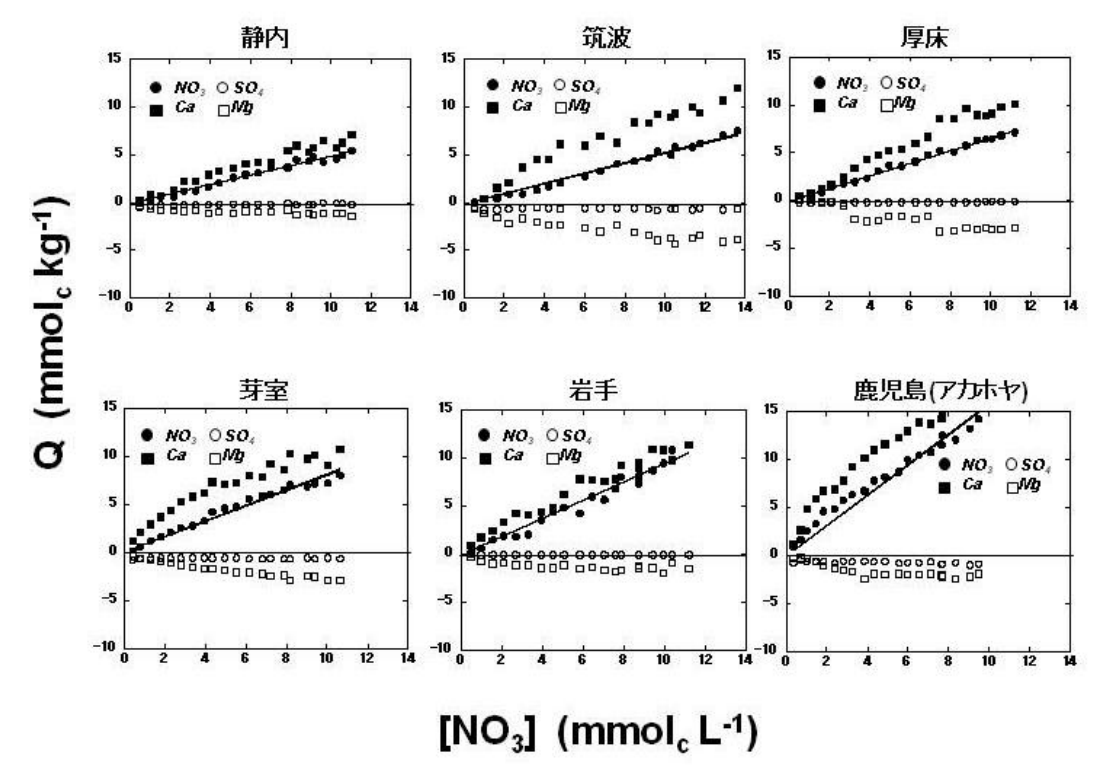


図3 溶液濃度と吸着量の関係

含水率 $0.45~m^3~m^{-3}$ を仮定すると、下層土に流入した NO_3 量の55%は土粒子に吸着されていることを意味する。本研究で得た分配係数は、 $0.29\sim1.57~L~kg^{-1}$ であり、黒ボク土下層土の体積含水率の範囲を $0.4\sim0.7~m^3~m^{-3}$ とすると、本研究の分配係数の範囲から、黒ボク土下層土では NO_3 の約 $2.5\sim8$ 割程度が固相に吸着して存在していると推定される。

2) NO₃流出

図4に、9地点の土壌のNO₃の流出濃度曲線を示す。点線は、溶質の遅延が全く無く、土壌水分移動が理想的なピストン流の場合の曲線である。図示はしていないが、試験区を設けた札幌の野幌層の流出濃度曲線はこの曲線とほぼ一致した。NO₃吸着データから得られた分配係数(表1)が大きい土壌ほど、NO₃流出が遅れる結果となった。

1.2 NO3 の相対濃度 (C/C o) 1 8.0 0.6 0.4 0.2 0 0 1 2 3 4 6 7 8 水の相対流出液量 (PV)

●八雲古 ○八雲d ◆羊ヶ丘 ◇静内 ■筑波 □厚床 ▲芽室 △岩手 ※鹿児島

図4 硝酸イオンの流出濃度曲線

次いで、 NO_3 流出濃度曲線に式(3)の移流分散方程式の解を適用して遅延係数を推定した。遅延係数の値は表1に示すように最小値は1.28、最大値は3.15となった。芽室の遅延係数は2.17であり、この場合、下層土で水が0.10 m進むとき、 NO_3 は0.046 m移動することになる。今回実験に用いた黒ボク土全てを対象にすると、黒ボク土下層土中では、水が1 m進む際に、 NO_3 は約0.8 mから0.3 m程度しか移動しないと見積もられた。 NO_3 吸着データから得た分配係数と、式(3)から推定した遅延係数(表1)との関係は、以下の1次式で表された(r=0.98, p<0.00001)。

$R = 1 + 1.45 K_d \tag{5}$

式(5)は、式(4)と同等の関数型である。直線の勾配は、式(4)から ρ_b/θ を表す。今回の実験では、 ρ_b は現場乾燥密度付近で充填したため、表1に見るように ρ_b 、 θ とも土壌により異なるが、遅延係数 Rと分配係数 K_d の関係が直線で近似できた。黒ボク土の遅延係数が第一近似として、式(5)で表せたことから、この式が広く黒ボク土の $N0_3$ 移動遅延の予測に適用できる可能性がある。

以上の結果を用いると、NO₃吸着データから 得られる分配係数 K_aを実験室で求めることで、 透水性が比較的良く選択流の発生頻度が少 ない黒ボク土下層土でNO₃移動の遅延が予測 出来る。

(2) 土壌の電気伝導度のモニタリングから 土壌溶液中のNO₃濃度を推定する手法の確立 1) 土壌の電気伝導度(ECa)と土壌溶液の電 気伝導度(ECw)

図5aは札幌Ap層を対象にして、TDRで測定した土壌の電気伝導度(ECa)とECメーターで測定した土壌溶液の電気伝導度(ECw)の関係が、土壌水分領域が0.48 m³ m⁻³ (近飽和)から0.40 m³ m⁻³ (−200 cm)の範囲内で直線関係にあることを示している。ECa−ECwの勾配は、水分量の増加につれて大きくなっており、図5bは図aの勾配を0.40から0.48 m³ m⁻³の範囲で体積含水率の関数として表している。また、図5cは図aの切片が一定であることを示している。そこで、勾配と切片を用いてECaとECwの関係を表すと次式となる。

$$EC_a = (1.133 \theta - 0.2769)ECw + 0.11$$
 (6)

Rhoades et al. 3) は以下の式を提案している。

$$EC_a = T\theta EC_w + EC_s \tag{7}$$

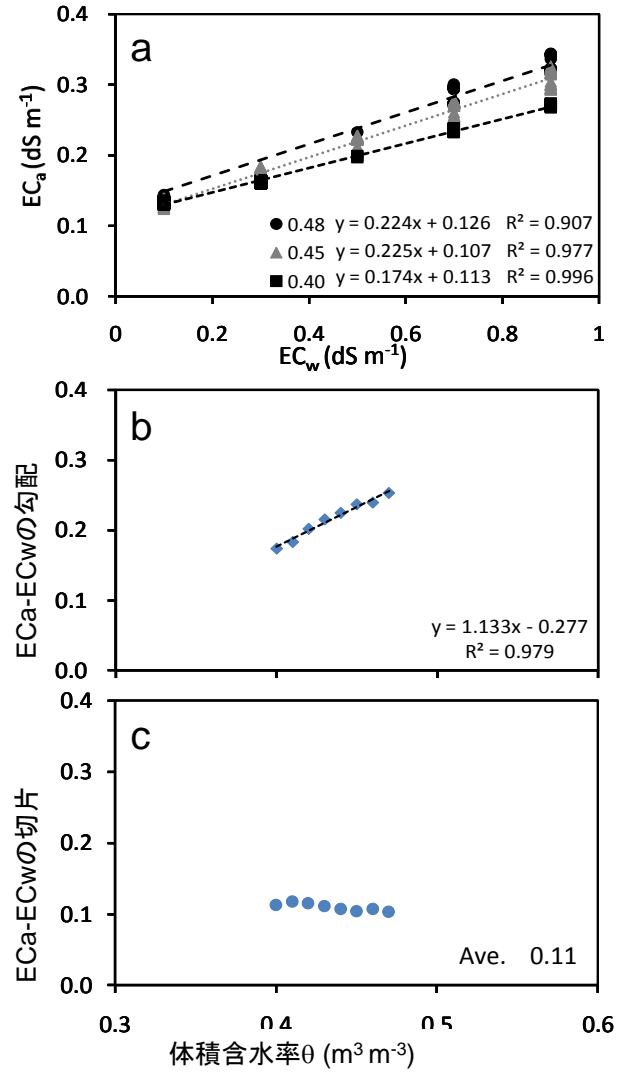


図5 ECa-ECwの関係(札幌Ap層)

ここで、T は伝達係数で体積含水率 θ の関数、ECs は土の固相の電気伝導度である。(6)式と(7)式は類似しているが、(6)式では土壌水分がゼロとなってもECwはゼロとならないという点で両者は異なっている。したがって、(6)式は土壌水分領域が0.40から0.48の範囲で成り立つ単純な回帰式である。札幌および芽室の全ての層位のECa、ECwおよび θ の関係は以下のモデルで近似できた。

表3 (8)式の勾配と切片

層位	深さ (cm)	水分領域θ (m³ m ⁻³)	a	b	勾配のR ²	c ±標準偏 差 (dS/m)
Sapporo Ap	0-30	0.40-0.47	1.133	-0.277	0.9789	0.11±0.074
Sapporo Cg	30-80	0.40-0.53	0.653	-0.031	0.8195	0.21 ± 0.0098
Memuro Ap	0-30	0.42-0.60	0.712	-0.168	0.9163	0.05 ± 0.0039
Memuro 1C	30-60	0.45-0.58	1.624	-0.576	0.9744	0.07 ± 0.0065
Memuro 2C	60-90	0.42-0.68	1.143	-0.301	0.9829	0.05 ± 0.0042

$$EC_{a} = (a\theta + b)EC_{w} + c \tag{8}$$

ここで、係数a, b, cは室内実験を行った水分領域では表3に示すように一定である。 圃場における土壌溶液の電気伝導度は、TDRによって求めたECaと θ を用い、(8)式で表されるモデルを適用して土壌溶液の電気伝導度(ECw)を計算した。

2) 温度が電気伝導度に与える影響

温度がT °C のときの電気伝導度は次式のように基準温度 T_o °C に変換して表される。

$$EC_{a}(T_{a}) = f(T) \times EC_{a}(T) \tag{9}$$

ここで、 T_o は20 °Cであり、f(T) は実験結果より以下のように表すことができた。

$$f(T) = \frac{1}{1 + 0.024(T - 20)}$$
 (R²=0.876)

圃場で計測された全てのECaのデータおよび実験室で得られたデータは(10)式を用いて20 ℃の電 気伝導度に変換した。

3) 圃場におけるECwと土壌溶液組成

素焼きカップを用いて圃場の各深さで採水しECメーターにより測定したECwと土壌溶液組成の関係を用いて、(8)式のモデルを用いて予測されるECwを NO_3 に変換した。主要な陰イオンは NO_3 , C1と SO_4 であった。土壌溶液のC1と SO_4 濃度の和は芽室Ap層で0.81 $mmol_cL^{-1}$ と小さかったが札幌を含むその他の層位では1.37から1.64 $mmol_cL^{-1}$ の範囲であった。図6は札幌Ap層のECw- NO_3 および $ECw-NO_3+C1+SO_4$ の関係を示している。図から、ECwが0.16 dSm^{-1} になると NO_3 濃度がゼロになることが分かる。このことは、 NO_3 濃度の予測精度は他の陰イオン濃度に依存し、 NO_3 の濃度が低いと精度が下がることを示している。

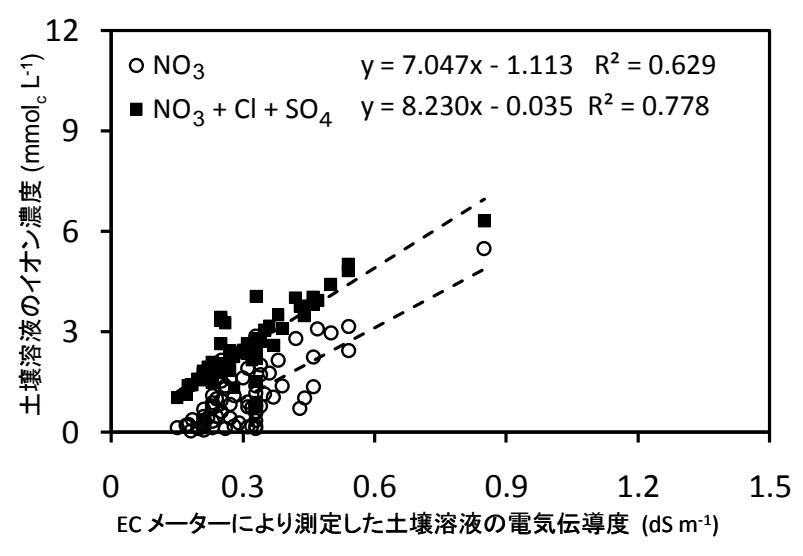


図6 イオン濃度と電気伝導度との関係(札幌Ap層)

4) モデルによるNO₃濃度の予測

モデルを圃場の溶液の電気伝導度の予測 に用いるための条件は、土壌水分領域が室内 実験の範囲であることと、前節で述べたよう にNO3濃度が0.16 dS m-1以上(札幌Ap層の場 合)であることに限定されるが、ここでは、 NO₃濃度が負とならない範囲では室内試験よ りも低水分状態にもモデルを適用した。図7 は札幌における2008年11月から2010年10月 の期間における深さ別の土壌溶液のNO。濃度 と深さ0.60 mまでの全量を月別降水量とKNO3 散布量との対応で示している。図中の実線が モデルによる予測値、○が素焼カップで採水 した溶液のNO₃濃度である。深さ0.10 mの土 壌水分量は観測期間のほとんどで室内実験 の水分量よりも少なかったので0.10 mのデ ータは除いた。深さ0.10 mから0.70 mに含ま れるNO₃の全量を深さ0.20, 0.40, 0.60 mの 土壌水分量とNO₃濃度より計算した値を図の 最下部に示す。対象とした期間中に投入した 窒素量は345 kg ha⁻¹で降水量は2386 mmであ った(表2)。

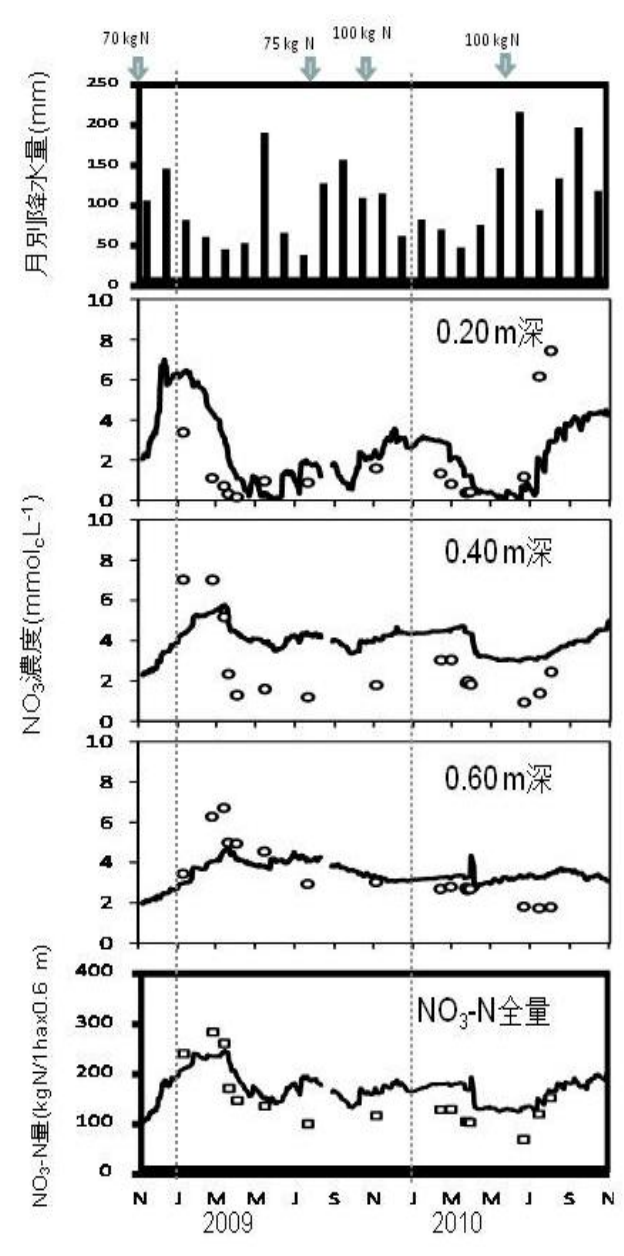


図7 札幌サイトのNO₃濃度の予測

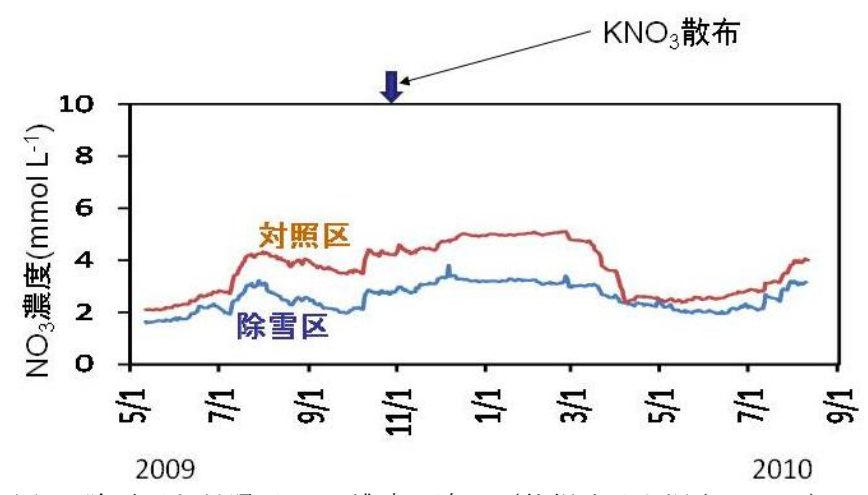


図8 除雪区と対照区のNO3濃度の違い(札幌サイト深さ0.40 m)

TDRによる予測値と採水データによる測定値を比較すると、 NO_3 濃度は必ずしも一致していないが両者の傾向は類似している。2つの方法による濃度の違いの原因としては測定領域が指摘できる。TDRのロッド長は30 cmあり、その平均のECを測定している 4)のに対し、素焼カップ法では約2m1の土壌水を分析していることである。 NO_3 濃度は第1回目と4回目の KNO_3 散布直後に顕著に増加しているが、第2および3回の散布では濃度増加は明らかでない。このような違いがどうして生じたのかは明らかにすることができなかった。深さ0.10 mから0.70 mまでに含まれる NO_3 量は、観測開始時は100 kg ha $^{-1}$ 未満であり、観測終了時は200 kg ha $^{-1}$ が残留していた。このことは、約250kg ha $^{-1}$ の NO_3 が0.70 m深から溶脱したことを示している。札幌サイトの積雪冬期の浸入速度は約1 mm d $^{-1}$ であり、融雪期の約2週間に大量の水が浸入する。図7の NO_3 全量をみると、12月から3月までの NO_3 量はほぼ一定であり、3月から4月の融雪期には大きく低下していることが分かる。

図8は札幌サイトにおいて除雪して凍結深を発達させた除雪区と対照区の深さ $0.40~moNo_3$ 濃度の比較である。この図から、雪解けの2010年4月に対照区の No_3 濃度が大きく低下していることが分かる。2009-2010年冬期は除雪区で氷板が発達したため、除雪区の No_3 濃度の低下が少ない原因の一つは融雪水の浸入水量が少なかったためである。図9は芽室サイトの降水量、0.20から0.80~mまでの No_3 濃度と0.15から0.85~mまでに含まれる No_3 の量を表している。深さ0.10~mでは冬期に土壌が凍結したことにより除いた。モデルにより予測した値は採水により得られた濃度に比べて変動が激しく浅い層位では値が大きい。深さ0.20~mをみると KNo_3 の散布に対応して値が大きくなっていない。しかし、2009年11月に0.20~m深にみられた No_3 の最大値は時間の経過とともに下方に移動しながらピークの値が低下していることが読み取れる。モデルから得られた値と採水から得られた値の不一致については明らかにすることはできなかったが、札幌サイトと同様にサンプリングサイズの問題が考えられる。

以上、TDRによる土壌水分と土壌の電気伝導度から土壌水の電気伝導度およびNO₃濃度を予測するモデルを考案した。札幌・芽室の両サイトで同じ形のモデル式で表された。モデルを2年間にわたって土壌溶液のNO₃濃度のモニタリングを行った。NO₃の溶脱が激しい融雪期は多水分状態であり、モデルの値は信頼性が高いと考えられる。また、採水データとモデル値と必ずしも一致しなかった点については両者の測定サイズが異なることに加え、次のようなことが考えられる。それは、

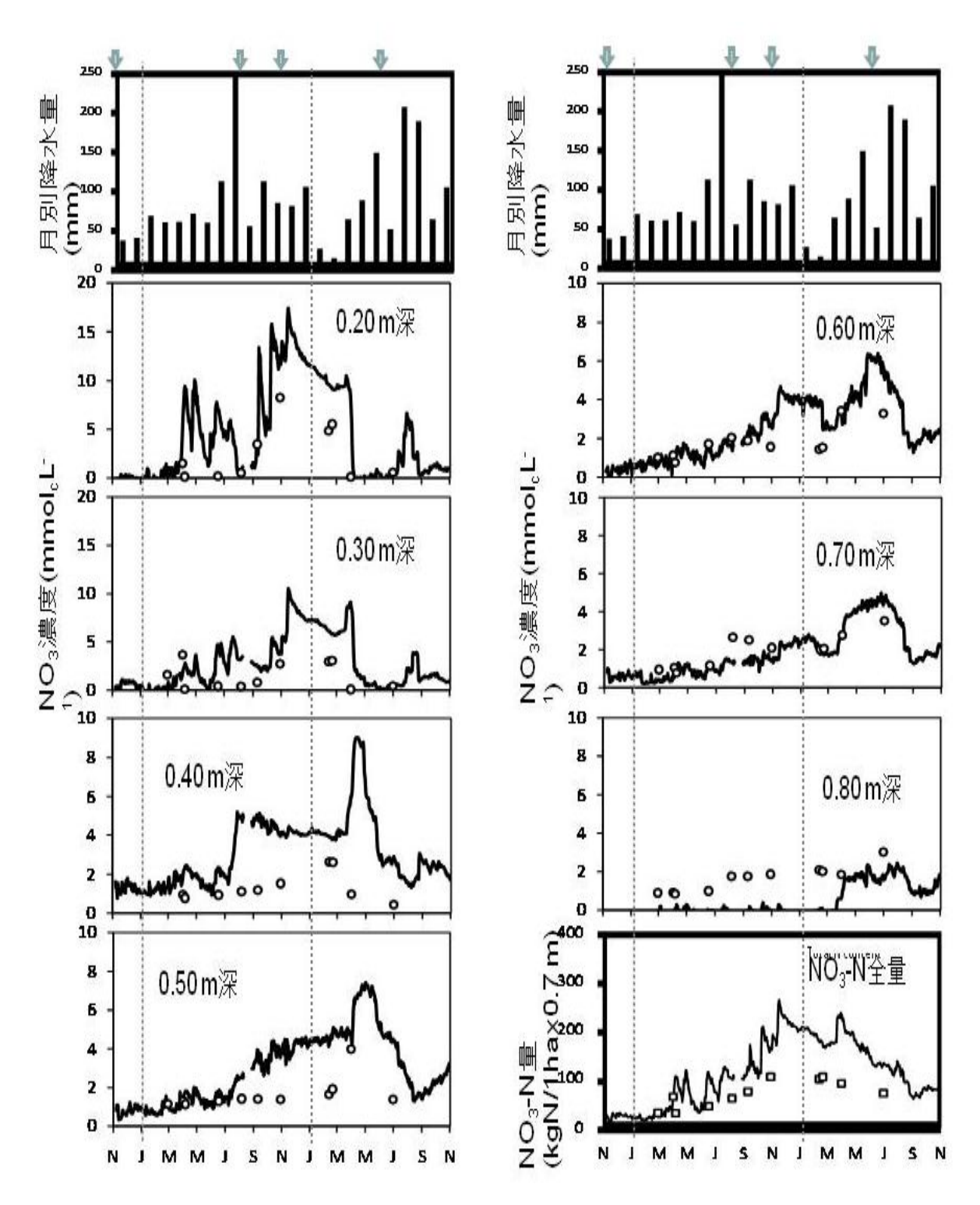


図9 芽室のNO₃濃度の予測

特に融雪期のように大量の水が浸入する場合、水の移動は粗孔隙を主体に流れるため、採水用の素焼カップやTDRの埋設場所により不均一性の影響を強く受けることである。このように考えると、今回のモデルによる推定値が採水データと一致しなくても、モデルの値はそれなりに信頼性があると考えられる。その証拠の1つは、深さ数十cmまでの土層を対象とした場合、NO₃の全量が妥当な

範囲に入っていることである。

(3) 土壌凍結深の違いが実際の農家圃場のNO。の溶脱に与える影響の評価

最近の芽室における積雪水量は約200 mmである4)。黒ボク土を対象としていることから、融雪期 の平均体積含水率を0.5 m³ m⁻3とし、融雪水が均一に侵入すると仮定すると侵入水の前線は0.40 m となる。したがって、融雪水が均一に侵入すれば、作土層(厚さ0.30 m)NO3は溶脱され、融雪水 が不均一に侵入すればNO₃は作土層に多く残ることになる。そこで、冬の初めに作土層に蓄えられ ていたNO。量Q1と融雪後に残留したNO。量Q2を用い、縦軸に Q1/Q2、横軸に最大凍結深を取り、除雪 処理が融雪後の作土に残留するNO3の評価に用いた。凍結深は0.02~0.03 mと浅い畑と約0.60 mと 深い畑までみられたが、凍結深の増大が作土のNO。存在量に明確な影響を及ぼしているとは言えな かった。農家圃場では、収穫後に残渣を剥き込むが、残渣が局所的に存在することで、秋の凍結 前に作土層に存在したNO。の圃場内でのバラツキが大きいと考えられる。また、サブテーマ(1) で説明したように、農家における除雪処理は、①最初に等間隔に除雪し、除雪した雪は山になっ て列状に残り、②除雪部分に土壌凍結が適度に入ってから、山部の雪を割って、雪山があった部 分の雪を除雪する、という手順で除雪をおこなう。そのため、農家圃場の土壌凍結深は均一には ならなかった可能性がある。そこで、北海道農業研究センター芽室研究拠点の試験圃場の、播種 と同時に筋状に施肥を行ったコムギ圃場、ならびに模擬的に全面施肥を行った試験区において、 圧雪により土壌凍結深を全面的に発達させた試験区(圧雪区)と、自然積雪状態を維持した対照 区を設置し、秋と春のNO₃の変化を検討した。コムギ試験圃場における結果を図10に示す。最大土 壤凍結深が0.20 m以下の場合は秋に残存したNO₃のほとんどが消雪後にはなくなっていた。一方、 最大土壌凍結深が0.20 m以上の試験区では、秋のNO。含量に対する春のNO。含量が深さ0.20 m以下の 場合に比べて明らかに増加しており、土壌凍結深が深くなることで多量のNO₃が作土層に残留した ことが明らかになった。裸地に模擬的に窒素肥料を施肥し、自然積雪状態の対照区と圧雪により

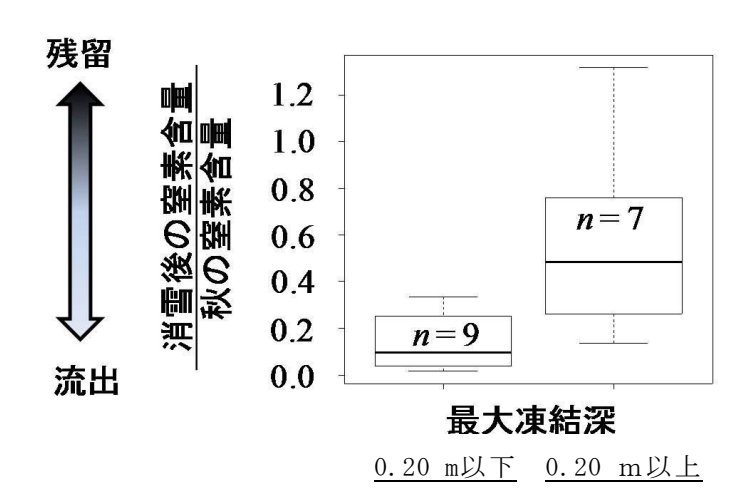


図10 北海道農業研究センター芽室研究拠点コムギ生育試験圃場における土壌凍結深と深さ0~0.40 mの土層に残留したNO₃の関係。深さ0.40 mまでの土層に残留したNO₃は、秋(土壌凍結発達前)と消雪後の土壌中NO₃含量の比で評価した。図中のエラーバーの上下は、最大値・最小値を、箱中の横線は平均値を、箱の上下端は第3・第1四分位点を表す。

土壌凍結深を深く発達させた試験区の秋(凍結前)と春(融解後)のNO₃の鉛直分布を図11に示す。 土壌凍結深が最大で0.05 mであった対照区では融解後に硝酸態窒素が深さ1 mまでの土層にほとん どみられなかったのに対し、土壌凍結深が0.45 mまで発達した圧雪区では、秋に存在した窒素の ほとんどが春先にも残存していた。これらの結果と、サブテーマ(1)の土壌凍結深の増加と共 に融雪水の浸透が抑制されるという結論から、土壌凍結層が深くなるほど、融雪水の浸透が抑制 されることで、窒素の残存量が多くなると考えられる。

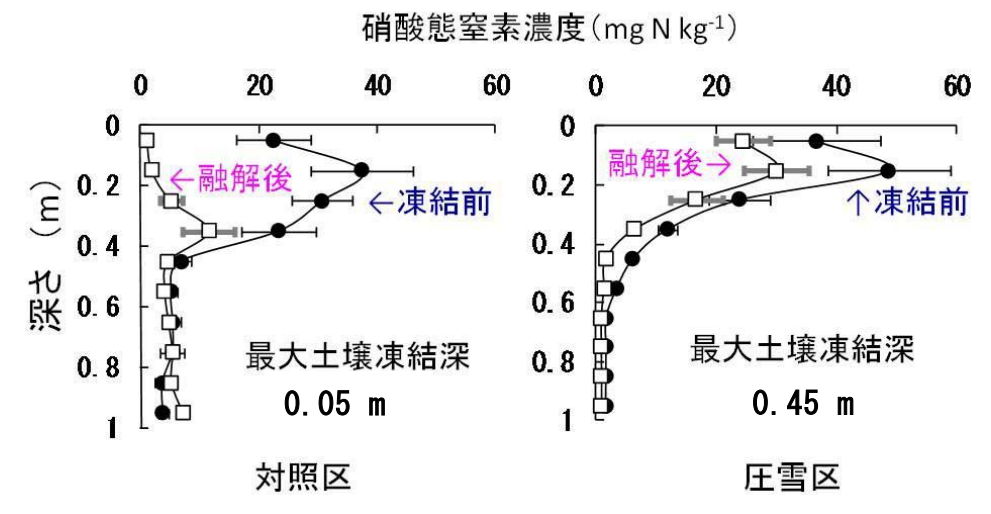


図11 北海道農業研究センター芽室研究拠点の裸地圃場における対照区と圧雪処理により土壌凍結深を深くした試験区の秋(凍結前)と春(融解後)に採取した土壌のNO₃の鉛直分布。図中のエラーバーはの標準誤差(n=6)を意味する。

5. 本研究により得られた成果

(1) 科学的意義

圃場における硝酸イオン (NO_3) 濃度を土壌の電気伝導度をもとにモデル化し、その動態を長期にわたって追跡した例は我が国ではなく、 $TDRが土壌水分ばかりでなく、土壌中の<math>NO_3$ 濃度の監視にまで応用できた研究レベルは高い。しかし、黒ボク土の特性である陰イオンの移動遅延を NO_3 の経時変化から明らかにすることはできなかった点が今後の課題として残された。

土壌凍結深が厚くなると作土に残留していた NO_3 は保全される傾向が認められる。これは、凍結深が深くなることで融雪水の侵入がより局所的になり、浸入水量の少ない多くの部分で NO_3 の溶脱が少ないことに起因するためと考えられた。

(2) 地球環境政策への貢献

温暖化による凍結深の減少は融雪期の硝酸イオン (NO₃) の溶脱を促進する可能性が高いことから,水系の硝酸性窒素濃度に変化があれば,越冬作物の施肥方法の見直しに結びつく。

6. 引用文献

1) Wild, A., 1981. Mass flow and diffusion. *In* D. J. Greenland., and M. H. B. Hayes (ed.) The chemistry of soil process, John Wiley and Sons., New York. 37-80.

- 2) Wong, M. T. F., Hughes, R., Rowell, D. L., 1990. Retarded leaching of nitrate in acid soils from the tropics. Journal of Soil Science, 41, 655-663.
- 3) Rhoades, J.D., Raats, P.A.C., Prather, R.J., 1976. Liquid-phase electrical conductivity, water content, and surface conductivity on bulk soil electrical conductivity, Soil Science Society of American Journal, 40, 651-655.
- 4) Iwata, Y., Nemoto, M., Hasegawa, S., Yanai, Y., Kuwao, K., Hirota, T., 2011. Influence of rain, air temperature, and snow cover on subsequent spring-snowmelt infiltration into thin frozen soil layer in northern Japan. Journal of Hydrology, 401, 165-176.
- 7. 国際共同研究等の状況 特に記載すべき事項はない
- 8. 研究成果の発表状況
- (1) 誌上発表

田村和杏・中原治・田中正一・加藤英孝・長谷川周一:日本土壌肥料学雑誌 82, 121-129 (2011)

"見かけの塩吸収によるアロフェン質黒ボク土下層土の硝酸イオン吸着と移動遅延"

(2) 口頭発表

- 1) 桑尾和伸,岩田幸良,根本学,長谷川周一:日本土壌肥料学会2009年京都大会(2009) 「TDRを用いた土壌の電気伝導度のモニタリング」
- 2) 柳井洋介,岩田幸良,古賀伸久,根本学,大久保晋治郎,廣田知良:日本土壤肥料学会北海道支部秋季大会,B-09 (2010)

「コムギ畑への土壌凍結促進処理が収量・窒素動態に及ぼす影響」

(3) 出願特許

なし

- (4) シンポジウム、セミナーの開催 なし
- (5) マスコミ等への公表・報道等 なし
- (6) その他特に記載すべき事項はない